



รายงานการวิจัย

เรื่อง

การศึกษาผลิตภัณฑ์ธรรมชาติที่มีฤทธิ์ทางชีวภาพจากฟองน้ำในทะเลอันดามัน

(The study of bioactive natural products from sponges in the Andaman Sea)

โดย

ดร. พชร เพ็ชรประดับ

ได้รับการอุดหนุนการวิจัย ประจำปีงบประมาณ 2550

คณะวิทยาศาสตร์และเทคโนโลยีการประมง

มหาวิทยาลัยเทคโนโลยีราชมงคลครีวิชัย วิทยาเขตตรัง

คำนำ

งานวิจัยนี้มีจุดมุ่งหมายเพื่อค้นหารสารออกฤทธ์ทางชีวภาพจากฟองน้ำในทะเลอันดามันมาใช้ประโยชน์ทางการแพทย์ การวิจัยประกอบไปด้วยการเก็บตัวอย่าง การทำสิ่งสกัดหยาบ การทดสอบฤทธิ์ทางชีวภาพเบื้องต้น การแยกเอาสารสำคัญ และการพิสูจน์เอกลักษณ์ทางเคมีของสารบริสุทธิ์

ผู้วิจัยขอขอบคุณ มหาวิทยาลัยเทคโนโลยีราชมงคลรัตนโกสินทร์ ที่สนับสนุนทุกการวิจัยประจำปี 2550 พร้อมทั้งหน่วยงานและผู้เกี่ยวข้องมา ณ โอกาสนี้

(ดร.พชร เพ็ชรประดับ)
หัวหน้าโครงการวิจัย



สารบัญ

เรื่อง	หน้า
บทนำ	2
อุปกรณ์และวิธีการทดลอง	3
ผลการวิจัยรายงานผลการวิจัย	6
เอกสารอ้างอิง	16
ภาคผนวก	18



บทคัดย่อ

การศึกษาฤทธิ์ทางชีวภาพเบื้องต้น (ฤทธิ์ยับยั้งการเจริญของจุลชีพและความเป็นพิษต่อไข้หน้าเค็ม) ของสิ่งสกัดหยาบจากฟองน้ำจำนวน 40 ตัวอย่าง 80 สิ่งสกัดหยาบ พบฟองน้ำจำนวน 4 ตัวอย่างให้ผลตอบสนองต่อการทดสอบอย่างมีนัยสำคัญซึ่งคัดเลือกเฉพาะตัวอย่างที่ออกฤทธิ์รุนแรงที่สุดมาแยกหาสารสำคัญ ชันสิ่งสกัดในชันแยกเพรกรชั้นที่เป็นส่วนผสมของสารสเดียรอยด์หนึ่งเพรกรชั้น ภายในของผสมนี้ประกอบด้วยสาร Cholest-5-en-3-ol ($C_{27}H_{46}O$); 23,24-Methanocholest-5-en-3 β -ol ($C_{28}H_{46}O$); Stigmasta-5,22-diene-3-ol ($C_{29}H_{48}O$); Stigmasta-5,22-diene-3-ol ($C_{29}H_{48}O$) นำสิ่งสกัดในชันเอทิลอะซีเดตซึ่งมีฤทธิ์เป็นพิษสูงต่อไข้หน้าเค็ม ($LC_{50} = 15.5 \mu g/ml$) มาแยกหาสารออกฤทธิ์ได้จำนวนหนึ่งชนิด ทำการพิสูจน์ทราบโดยใช้ข้อมูลจากเครื่องนิวเคลียร์แมกนีติกเนเชนแนนซ์และแมสสเปกโกรเมตเตอร์ได้เป็นผลสำเร็จทราบว่าเป็นสารกลุ่ม sesquiterpene hydroquinone คือสาร aureole

ABSTRACT

Biological activities screening (antibacterial and brine shrimp lethality) of 80 marine sponges extracts (40 specimens) found that 4 specimens gave potent activity. The highest potent activity (GT0303IIIC) was collected for further isolation and purification of active constituents. By using various chromatographic techniques found a fraction consist of 4 steroids mixture which was analyzed by GCMS. The result showed that it consist of 4 steroids including Cholest-5-en-3-ol ($C_{27}H_{46}O$); 23,24-Methanocholest-5-en-3B-ol ($C_{28}H_{46}O$); Stigmasta-5,22-diene-3-ol ($C_{29}H_{48}O$) and Stigmasta-5,22-diene-3-ol ($C_{29}H_{48}O$). A sesquiterpene hydroquinone (aureole) was isolated from ethyl acetate part and it was successfully elucidated molecular structure by NMR and mass spectrometry method.

บทนำ
(Introduction)

สารเคมีที่เป็น secondary metabolite ซึ่งผลิตโดยสิ่งมีชีวิตในทะเล เรียกว่าผลิตภัณฑ์ธรรมชาติทางทะเล (marine natural products) ผลิตภัณฑ์ธรรมชาติทางทะเล เริ่มมีการศึกษาอย่างจริงจัง เมื่อ 54 ปีมาแล้วโดย Bergman ในปี 1951 พบสารนิวคลีโอไซด์จากฟองน้ำ *Cryptotethya crypta* จนกระทั่งในปี 2002 มีรายงานการค้นพบผลิตภัณฑ์ธรรมชาติมากที่สุด (Blunt et al, 2002) ผลิตภัณฑ์ธรรมชาติทางทะเล มักมีความแปลกใหม่ (novel) และมีฤทธิ์ทางชีวภาพที่น่าสนใจ โดยเฉพาะฟองน้ำทะเล จึงมีการประยุกต์ใช้ด้านต่าง ๆ อย่างกว้างขวาง เช่น การเพทาย การเกษตร อุตสาหกรรม และด้านชีวภาพ ในปัจจุบันผลิตภัณฑ์ธรรมชาติทางทะเลหลายชนิดกำลังพัฒนาให้เป็นยาชนิดใหม่ และ/หรือ ผลิตภัณฑ์ชีวภาพทางทะเล (marine bioproducts) บางชนิดเป็นสารเคมีชีวภาพใช้ในการทดลองทางวิทยาศาสตร์ จากการรวบรวมการค้นพบผลิตภัณฑ์ธรรมชาติทางทะเลของนักวิทยาศาสตร์หลายท่าน ซึ่งรายงานใน natural products report ตั้งแต่ปี 1990 เช่น Faulkner, Blunt และคณะ, Munro และคณะ, Paul และ Puglisi (2003) สามารถสรุปได้ว่าฟองน้ำได้รับการศึกษามากที่สุด และมีรายงานการค้นพบสาร secondary metabolite มากที่สุด ดังแสดงในรูปที่ 1 ผลิตภัณฑ์ธรรมชาติจากฟองน้ำทะเล ส่วนใหญ่แสดงผลการออกฤทธิ์ทางชีวภาพ เช่นจากการตรวจสอบฤทธิ์ด้านการเจริญของเซลล์มะเร็งซึ่งสังเกตจากสัดวิไม่มีกระดูกสันหลังในทะเล ของสถาบันมะเร็งแห่งชาติ สหรัฐอเมริกา พนว่าผลิตภัณฑ์ธรรมชาติจากฟองน้ำ แสดงความเป็นพิเศษต่อเซลล์มะเร็ง คีทีสีดู (Munro et al, 1999)

การศึกษาสาร secondary metabolite จากสัตว์ทะเลที่ไม่มีกระดูกสันหลังในประเทศไทยนั้นมีรายงานค่อนข้างน้อย เช่น การค้นพบสาร cyclicperoxide norsesterterpenes จากฟองน้ำ *Mycale* sp. ในปี 1993 และสาร Isoquinoline alkaloids จากฟองน้ำ *Reniera* sp. สารกลุ่ม Eunicellin diterpene จากปะการังอ่อน *Cladiella tuberosa* ซึ่งตัวอย่างทั้งหมดถูกเก็บที่บริเวณเกาะสีชัง (Suwanborirux, 1996) มีการศึกษาเบื้องต้นเกี่ยวกับผลิตภัณฑ์ธรรมชาติจากสัตว์ไม่มีกระดูกสันหลังในทะเลอันดามัน ซึ่งรายงานโดยสุวิกาลและคณะ (2005) พบสารกลุ่ม brominated diphenylether จากฟองน้ำ *Dysidea granulosa* สารกลุ่ม bromopyrrole alkaloids จากฟองน้ำ *Styliissa flabelliformis* และสารชนิดใหม่ Dragmacidonamine A และ B จากฟองน้ำ *Dragmacidon* sp. (Pedpradab et al, 2004)

อุปกรณ์และวิธีการทดลอง

การวิจัยแบ่งเป็นขั้นตอน ดังนี้

1. การเก็บตัวอย่าง

ใช้วิธีการดำน้ำแบบ SCUBA เก็บตัวอย่างฟองน้ำ บริเวณจังหวัด ตรัง สตูล พังงา และ กระนี่ โดยเลือก เก็บเฉพาะชนิดที่มีในจำนวนมาก ปริมาณการเก็บ 300 กรัม/ตัวอย่าง ใช้วิธีการตัดแบบไม่ทำลายเนื้อเยื่อ เพื่อให้ ส่วนที่เหลือของกลับคืนใหม่ มีการถ่ายภาพได้น้ำบันทึกสภาพแวดล้อมที่อยู่อาศัยของฟองน้ำเพื่อเป็นข้อมูล ประกอบการจำแนกชนิด ตัวอย่างถูกเก็บในถุงพลาสติกปิดสนิท รักษาไว้ที่อุณหภูมิ 4 °C ก่อนนำมาเก็บที่อุณหภูมิ -20 °C ณ ภาควิชาชีวศาสตร์ทางทะเล คณะวิทยาศาสตร์และเทคโนโลยีการประมง

2. การสกัด

ฟองน้ำจะถูกหมักในเอกสารนอล และจะถูกสกัดด้วยตัวทำละลายอินทรีย์ จากนั้นสูงไปหา ข้าวต่าดังแสดงในภาพที่ 2 สิ่งสกัดหมายในแต่ละส่วนจะถูกนำไปทดสอบฤทธิ์ ยับยั้งการเจริญของจุลชีพ และความเป็นพิษต่อ เชลล์มน้ำเงินทดลอง ก่อนนำไปแยกห้องค์ประกอบที่ออกฤทธิ์โดยวิธีการทางโคมไฟกราฟี

3. การจำแนกชนิดของฟองน้ำ

ตัวอย่างฟองน้ำที่มีฤทธิ์ทางชีวภาพจะถูกจำแนกชนิดโดยวิธี visual key ตามวิธีของ Soest and Cooper (2004)

4. การแยกห้องค์ประกอบที่มีฤทธิ์ทางชีวภาพ

เก็บตัวอย่างฟองน้ำในทะเลบริเวณ จ. ตรัง กระนี่ พังงา และสตูลใช้วิธีการทางโคมไฟกราฟีเพื่อแยกห้องค์ประกอบของฤทธิ์ตามลำดับ ได้แก่

4.1 ตัวอย่างสิ่งสกัดจากฟองน้ำถูกฉีดสู่ HPLC เพื่อตรวจสอบจำนวนและปริมาณของค์ประกอบทางเคมีใน ฟองน้ำแต่ละชนิด จากนั้นนำไปตรวจหาโมโนเลกุล ด้วย LCMS เพื่อเป็นแนวทางในการแยกต่อไป (ขึ้นอยู่กับ ความเหมาะสมและโอกาส)

4.2 การทำงานค์ประกอบของฤทธิ์ให้บริสุทธิ์โดยใช้วิธีการทางโคมไฟแบบต่างๆ เช่น แบบเยื่อบาง (TCL) เพื่อหาระบบทัวทำละลายที่เหมาะสมและเป็นข้อมูลรวม fractions, โคมไฟกราฟีแบบคอลัมน์ เพื่อ แยกในปริมาณมาก โดยใช้ silica gel เป็นวัสดุแยก แบ่งเป็น 3 ชนิดคือ แบบธรรมชาติ (normal phase) แบบกลับ ข้า (reverse phase) และแบบ แยกตามขนาดโมโนเลกุล (gel permeable on sephadex LH-20) การตัดสินใจเลือก วัสดุแยกหรือวิธีการแยกขึ้นอยู่กับสถานการณ์ และชนิดของกลุ่มสารที่มีอยู่ในฟองน้ำนั้น ๆ มีการตรวจสอบฤทธิ์ ทางชีวภาพระหว่างกระบวนการแยกเพื่อเป็นตัวบ่งชี้ทิศทางและตัดสินใจเลือก fraction ในกรณีองค์ประกอบสำคัญ อยู่ในรูปของส่วนผสมที่ซับซ้อน (complex mixture) จะทำการแยกโดยใช้ HPLC และ semipreparative HPLC

5 การพิสูจน์เอกสารชีวเคมี

5.1 การพิสูจน์โครงสร้างเคมี

ผลิตภัณฑ์ธรรมชาติที่ถูกทำให้บริสุทธิ์แล้วจะถูกนำมาศึกษาเอกสารชีวเคมีได้แก่ การพิสูจน์โครงสร้างเคมี โดยใช้ nuclear magnetic resonance spectroscopy โดยใช้เครื่อง Fourier Transform NMR Spectrometer 500 MHz, Model Unity INOVA ค่า chemical shift วัดในหน่วย ppm ซึ่งข้อมูลที่ได้จะอยู่ในรูปของスペกตรัม มี 2 แบบ คือ มิติเดียว (1D-NMR) ได้แก่ ^1H -NMR, ^{13}C -NMR, DEPT และแบบ 2 มิติ (2D-NMR) ได้แก่ HMBC, HMQC, COSY, NOESY และอื่น ๆ ที่จำเป็น

5.2 วิเคราะห์ข้อมูลทางกายภาพ ได้แก่ จุดหลอมเหลว การดูดกลืนแสงอัลตราไวโอเลต

5.3 การham โมเลกุลโดยใช้ mass spectroscopy แบบ electron spray ionization mass spectroscopy (ESIMS), electron ionization (EI), Fast atom bombardment spectroscopy (FABMS) ในกรณีเป็นสารชนิดใหม่ จะham โมเลกุลโดยใช้ high resolution mass spectroscopy (HRMS)

การพิสูจน์โครงสร้างจะใช้ข้อมูลเชิงบูรณาการ โดยใช้ mass spectroscopy เพื่อham โมเลกุลในขันดันจากนั้นมีการนำสารไปตรวจ ^1H -NMR และ ^{13}C -NMR ซึ่งจะถูกนำไปหาความคล้ายคลึงในสูตรโครงสร้างจากฐานข้อมูล Marvinlit และจะวัด 2D-NMR เพื่อประกอบโครงสร้างโมเลกุลให้สมบูรณ์ในกรณีเป็นสารใหม่ หรือมีความซับซ้อนสูงจะใช้ high resolution NMR (500 MHz)

การศึกษาฤทธิ์ทางชีวภาพ

6.1 ฤทธิ์ต้านการเจริญของจุลชีพ

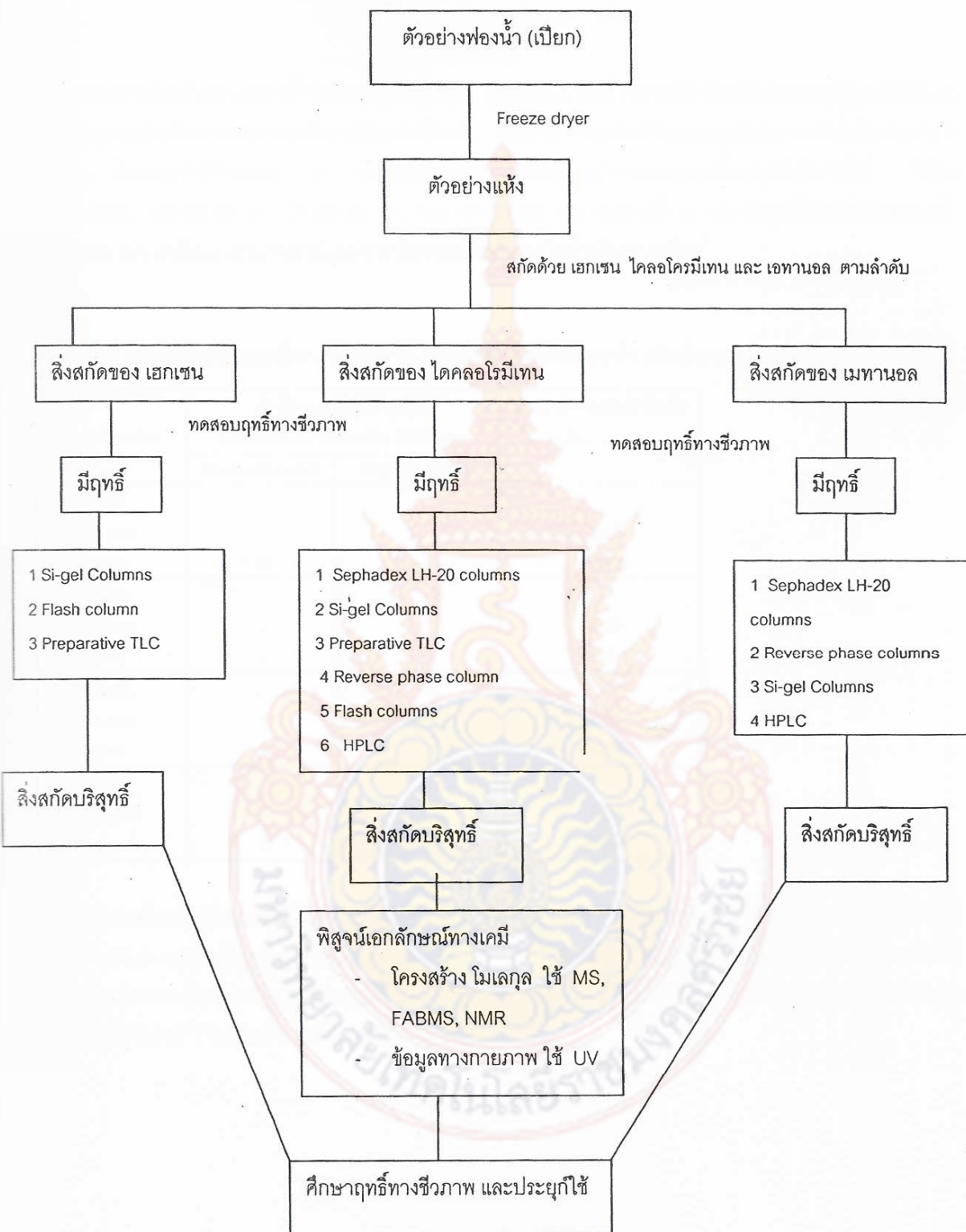
สิ่งสกัดหลาย fractions และสารบริสุทธิ์จะถูกทดสอบฤทธิ์ยับยั้งการเจริญของแบคทีเรีย *Bacillus subtilis* และ *Escherichia coli* อาหารเลี้ยงเชื้อบาคุที่เรียกว่า tryptic soy medium (Sigma, FRG) อาหาร

- การทดสอบฤทธิ์ยับยั้งการเจริญของแบคทีเรีย agar diffusion ของ Aauer kirby-test ซึ่งพัฒนาโดย Bauer et al (1996) การทดสอบเบื้องต้น โดยการถ่ายเชื้อ 3 -10 โคลนลงในอาหารเลี้ยงเชื้อบาคุที่ปริมาณ 4 ml และบ่มเชื้อ 2-5 ชม. โดยเทียนความชุ่มของเชื้อกับ BaSO₄ มาตรฐาน ก่อนถ่ายเชื้อบาคุที่

การเตรียมสิ่งสกัด

สิ่งสกัดหลายจะเตรียมให้ได้ความเข้มข้นสุดท้ายเป็น 500 $\mu\text{g}/\text{disc}$ ส่วน fraction และสารบริสุทธิ์เตรียมที่ความเข้มข้น 20 $\mu\text{g}/\text{disc}$ โดยใช้ตัวทำละลายอินทรีย์ที่เหมาะสม

6.2 ฤทธิ์ความเป็นพิษต่อเซลล์โดยวิธี brine shrimp assay ตามวิธีของ Sam (1999)



แผนภาพที่ 1 วิธีการสกัดแยกสารผลิตภัณฑ์ธรรมชาติ

ผลการวิจัยและวิจารณ์ผลการวิจัย

จากการเก็บตัวอย่างฟองน้ำจำนวน 40 ตัวอย่าง (ตารางผนวกที่) มาสกัดด้วยตัวทำละลายอินทรีย์ได้ 80 สิ่งสกัดหลายเมื่อนำมาทดสอบฤทธิ์ทางชีวภาพได้แก่ ฤทธิ์ด้านการเจริญของจุลชีพและความเป็นพิษต่อไวน้ำเค็ม โดยพบว่ามีจำนวน 4 ตัวอย่างให้ผลตอบสนองต่อการทดสอบฤทธิ์อย่างมีนัยสำคัญ¹ ได้แก่ GT-03-01 II E, GT-03-02 IA, GT-03-02 IIA, และ GT-03-03 III A (ตารางที่ 1) จากข้อมูลนี้จึงคัดเลือกฟองน้ำ GT-03-03 III A มาศึกษาหาสารสำคัญ เพราะมีความเป็นพิษต่อไวน้ำเค็มมากที่สุด²

ตารางที่ 1 ผลการทดสอบฤทธิ์ทางชีวภาพของสิ่งสกัดหลายจากฟองน้ำ (คัดเลือกเฉพาะที่มีนัยสำคัญ)

รหัสตัวอย่าง	ยับยั้งการเจริญของจุลชีพ (บริเวณยับยั้ง หน่วยเป็น มิลลิเมตร)		ความเป็นพิษต่อไวน้ำเค็ม (LD ₅₀ μg/ml)
	<i>Escherichia coli</i>	<i>Bacillus subtilis</i>	
GT0301II E	-	-	125.5
Hexane part	-	-	>1000
EtoAc part	12	-	
GT0302IA	-	-	
Hexane part	-	-	>1000
EtoAc part	-	-	500
GT0302 IIA	-	-	
Hexane part	-	-	>1000
EtoAc part	-	-	500
GT0303III C	-	-	
Hexane part	-	-	500
EtoAc part	-	-	15.25

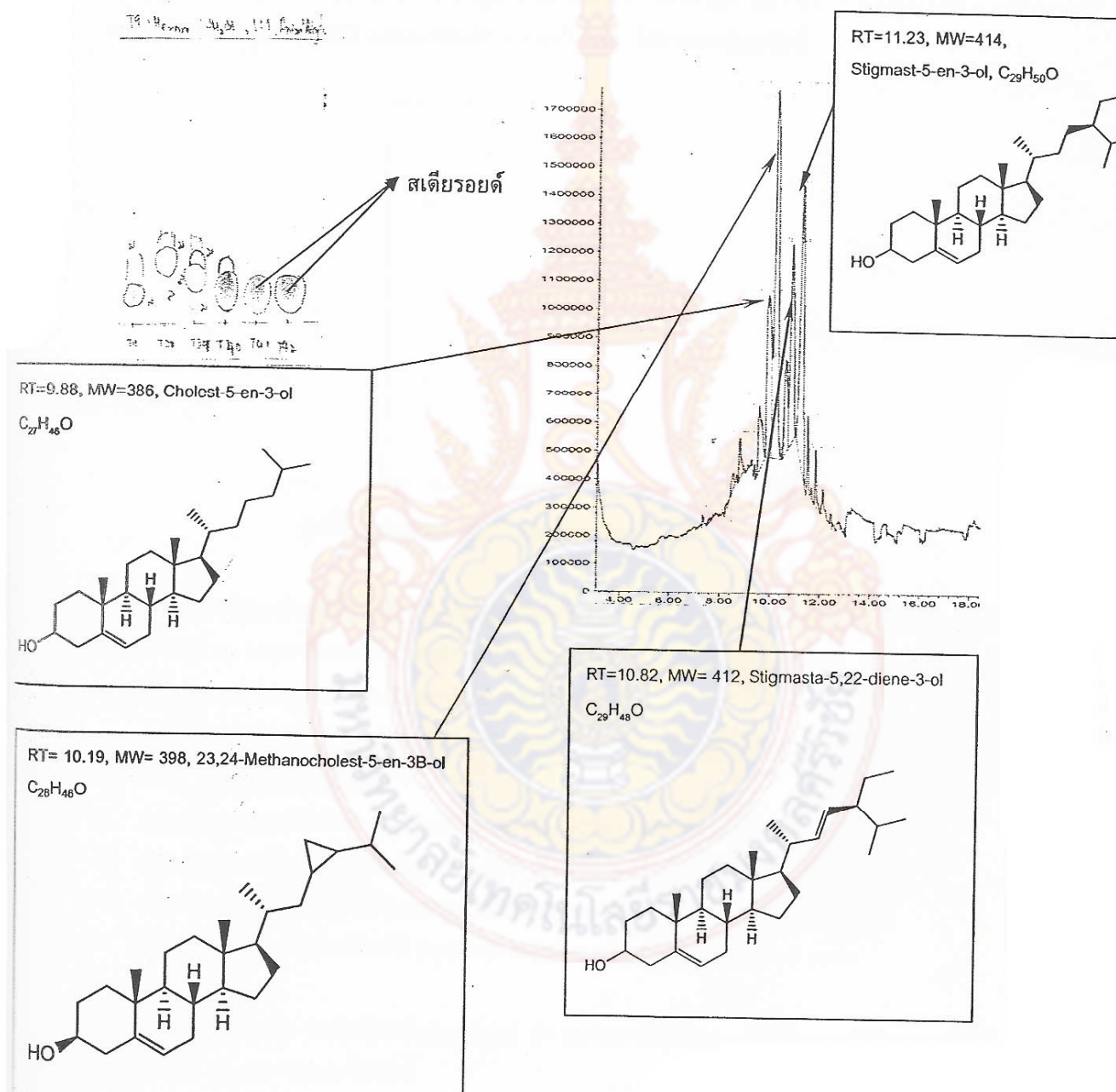
เมื่อนำสิ่งสกัดที่ออกฤทธิ์ความเป็นพิษต่อไวน้ำเค็ม (EtoAc part) มาตรวจสอบค่าปริมาณของสารเคมีด้วยเครื่อง HPLC พบว่าตัวอย่างฟองน้ำ GT-03-03 III C มีองค์ประกอบสองส่วน (รูปผนวกที่) ซึ่งมีความเป็นช้าไกล์เครียงกันมาก จึงนำมาแยกเอาสารออกฤทธิ์ได้ 1 ชนิด ส่วนในชั้นเชกเซนสามารถแยกได้สารผสมเดียวโดยตัวอย่างจำนวน 1 แฟรกระชั้น (แผนภูมiperfumus ที่ 1)

¹ ฤทธิ์ยับยั้งการเจริญของจุลชีพให้ผลบริเวณยับยั้ง ≥ 10 mm ส่วนความเป็นพิษต่อไวน้ำเค็มนี้ค่า LC₅₀ ≤ 20 μg/ml ถือว่าเป็นการออกฤทธิ์มีนัยสำคัญ

² สารที่มีความเป็นพิษต่อไวน้ำเค็มส่วนใหญ่จะเป็นพิษต่อเซลล์มะเร็ง จึงใช้คุณสมบัตินี้เป็นแนวทางในการสกัดแยกหาสารต้านมะเร็ง

การพิสูจน์ทราบเอกสารชั้นทางเคมีผลึกสเตียรอยด์

สิ่งสำคัญที่ใช้ในการตัดสินใจว่าตัวอย่างเป็นสารใดได้แก่ การตัดสินใจโดยใช้วิเคราะห์ทางเคมี เช่น การทดสอบด้วย TLC หรือ GCMS แต่ในกรณีนี้ได้ใช้วิเคราะห์ทางเคมีโดยใช้ GCMS ที่มีความแม่นยำและรวดเร็ว สามารถระบุตัวอย่างได้โดยตรง ไม่ต้องผ่านกระบวนการแยกตัวกันก่อน ทำให้ได้ผลลัพธ์ที่ถูกต้องและเชื่อถือได้มากขึ้น



รูปที่ 1 ผลการวิเคราะห์ผลึกสเตียรอยด์ด้วยเครื่อง GCMS

MW = มวลโมเลกุล, RT = Retention Time

จากการสืบค้นรายงานการวิจัยที่เกี่ยวข้อง เช่น *Agelas scaptum*; *Spongia* sp.; *Petrosia weibergi* และมีฤทธิ์ทางชีวภาพที่สำคัญคือ ยับยั้งการเจริญของ เชลล์มะเร็ง *Carcinima* และ ยับยั้งการเจริญของไวรัส บางอนุพันธุ์ได้รับการพัฒนาให้เป็นสารตัวแทนในการผลิตยา (Feng et al., 2002; Aoki et al., 1999; Luis et al., 1999)

การพิสูจน์ทราบเอกสารลักษณ์ทางเคมีของสาร aureol

จากการนำส่วนสักดัชั้นเอทิลอะซีเดตมาแยกเอาสารออกฤทธิ์โดยวิธีโครมาโทกราฟี (แผนภาพที่ 1) พบร่างกลุ่ม sesquiterpene hydroquinone จำนวนหนึ่งสาร มีลักษณะ เป็นของเหลวสีม่วงอ่อน มีค่า Rf เท่ากับ 0.3 บนแผ่น TLC แบบธรรมชาติ (normal phase) ตอบสนองต่อแสงญวีที่ความยาวคลื่น 254 นาโนเมตร (nm) โดยมีลักษณะเป็น Quenching สีจางๆ (รูปที่ 2) เมื่อนำสารที่ได้ไปห้าโครงสร้างโมเลกุลโดยเทคนิคเคลียร์แมกนีติกเรโซแนนซ์ (NMR) และแมสสเปกโตรเมตري (MS) ได้รายละเอียดดังนี้



รูปที่ 2 ลักษณะ TLC ของสารบริสุทธิ์

ผลการทดสอบด้วยเครื่องอีนเอ็มอาร์แบบมิติเดียว (1D-NMR) ประกอบด้วยปรอตอนไอโซโทปหนึ่ง ($^1\text{H-NMR}$, รูปที่ 3) และคาร์บอนไอโซโทป 13 ($^{13}\text{C-NMR}$, รูปที่ 4) และเทคนิค DEPT 135° (รูปที่ 5) จากข้อมูลปรอตอนอีนเอ็มอาร์ พบร่างกลุ่มสัญญาณจำนวน 5 กลุ่มได้แก่

1. กลุ่มสัญญาณเมทิล (CH_3) จำนวน 4 สัญญาณ (signal) ที่ค่าเคมีคัลชีฟ (chemical shift, δ) 0.72, 0.86, 1.23, 1.42 ppm ตามลำดับ
2. กลุ่มสัญญาณเมทิลีนปรอตอน (Methylene หรือ $-\text{CH}_2-$) มีค่าเคมีคัลชีฟอยู่ในช่วง 1-2 ppm
3. กลุ่มสัญญาณเมทีน (Methine proton หรือ $-\text{CH}-$) ที่ค่าเคมีคัลชีฟ 2.2 และ 3.19 ppm
4. กลุ่มสัญญาณอะโรมาติกปรอตอน (aromatic region) ที่ค่าเคมีคัลชีฟ 6.3-6.7 ppm
5. สัญญาณหมู่ฟังก์ชันไฮดรอกซี (hydroxyl function หรือ OH group) ที่ 3.8 ppm

ข้อมูล $^{13}\text{C-NMR}$ พบร่วมมีคาร์บอนจำนวน 21 อะตอม เมื่อวิเคราะห์ชนิดของคาร์บอนเหล่านี้ด้วยเทคนิค DEPT 135° สามารถจำแนกได้ดังนี้

- เมทิลคาร์บอน ($-\text{CH}_3$) ได้แก่สัญญาณที่ค่า δ 17.4, 20.2, 30.2 และ 32.1 ppm
- เมทีลีนคาร์บอน ($-\text{CH}_2-$) ได้แก่สัญญาณที่ค่า δ 18.7, 22.4, 27.9, 29.6, 34.2, 37.6 ppm

- มีไนโพรตอน (methine proton)
- อลิฟาติกมีไทน์ (aliphatic methane proton) คือสัญญาณที่ค่า δ 39.5 และ 44.1 ppm
- อโรมาติกมีไทน์ (aromatic methane) คือสัญญาณที่ค่า δ 114.4, 115.5 และ 117.4 ppm
- ควอเทอนารีคาร์บอน (Quaternary carbon) ซึ่งเป็นคาร์บอนที่สร้างพันธะกับอะดอมหรือหมู่อะดอมที่ไม่ชี้กันได้แก่ คาร์บอนที่ค่า δ 34.0, 38.2, 82.1, 122.1, 145.8 ppm (เชื่อมต่อกับเขตเทอโรอะดอมในการณ์คือออกซิเจน) และ 149.4 ppm (เชื่อมต่อกับไฮดรอกซีฟังก์ชัน) ข้อมูล 1D-NMR ทำให้เราทราบสูตรโมเลกุลของสารนี้คือ $C_{21} H_{29} O_2$ มีมวลโมเลกุล 314.46



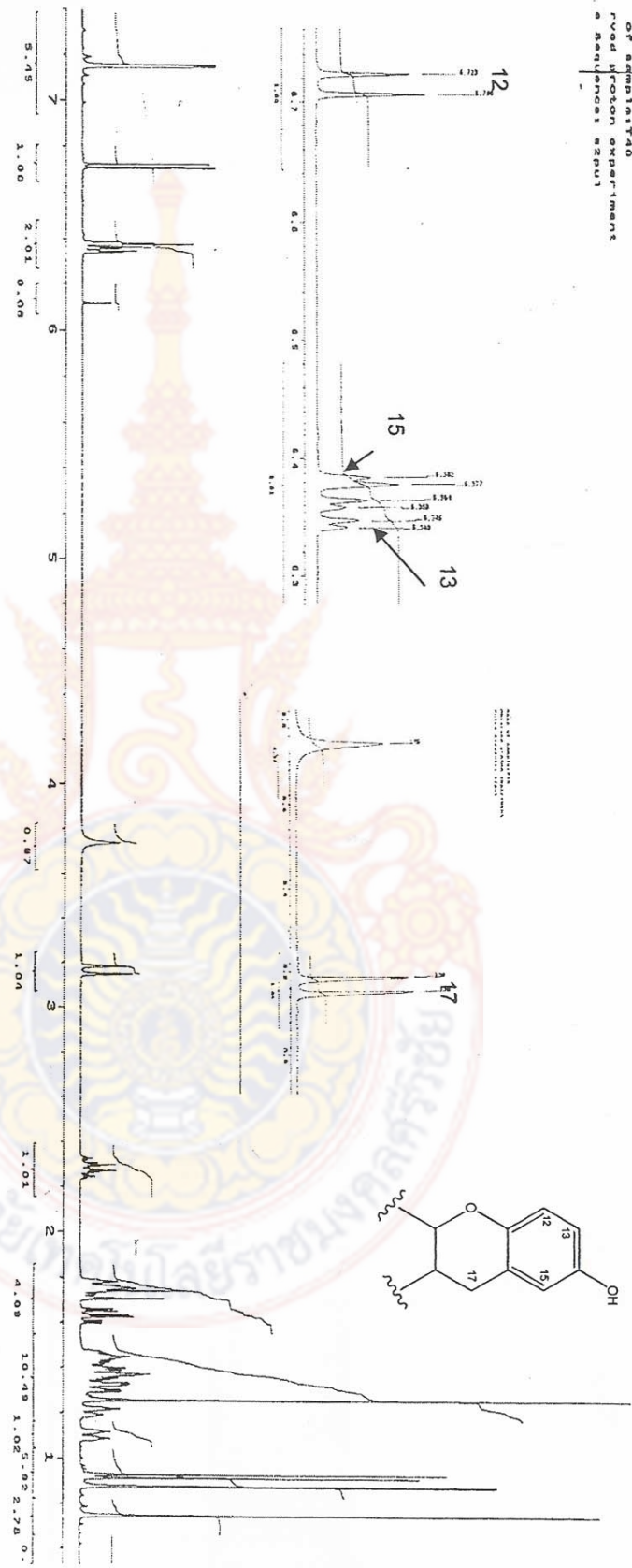
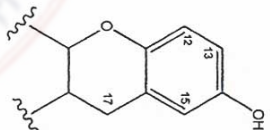
OF SAMPLING TO
PROTTON NMR
A RECOMMENDED
SEQUENCE REPORT

12

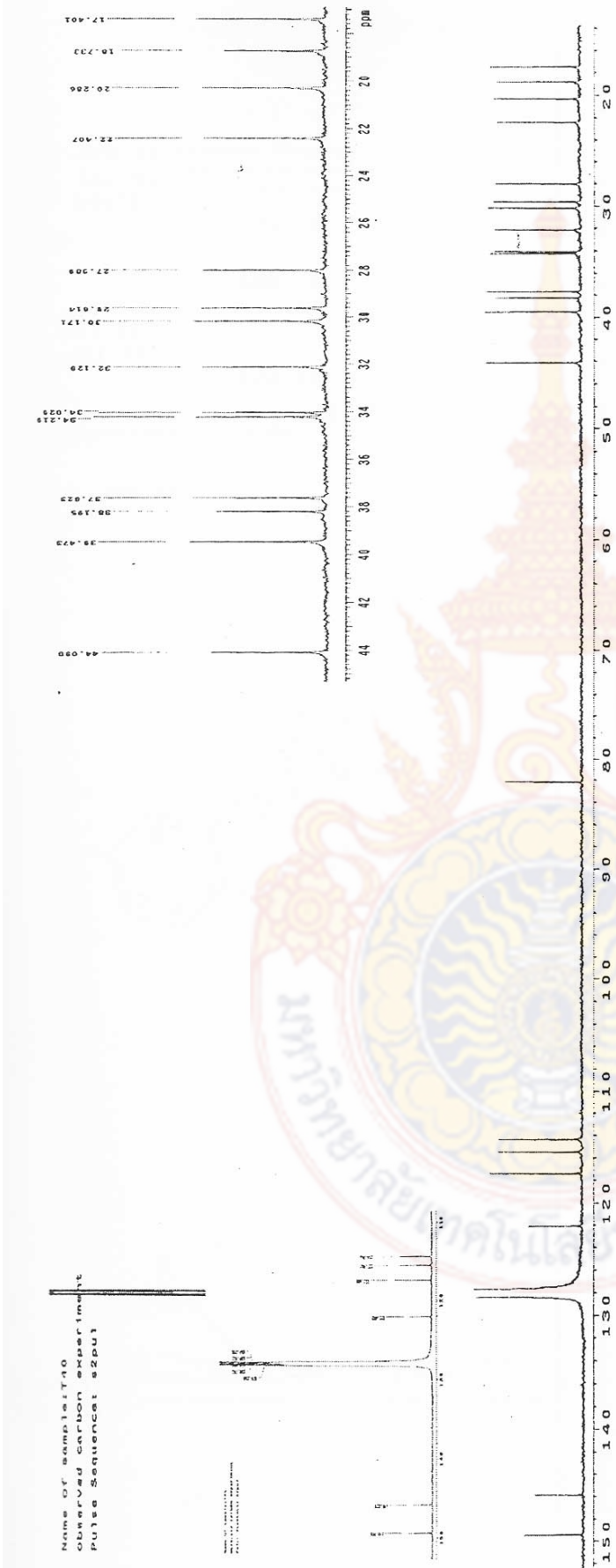
15

13

17

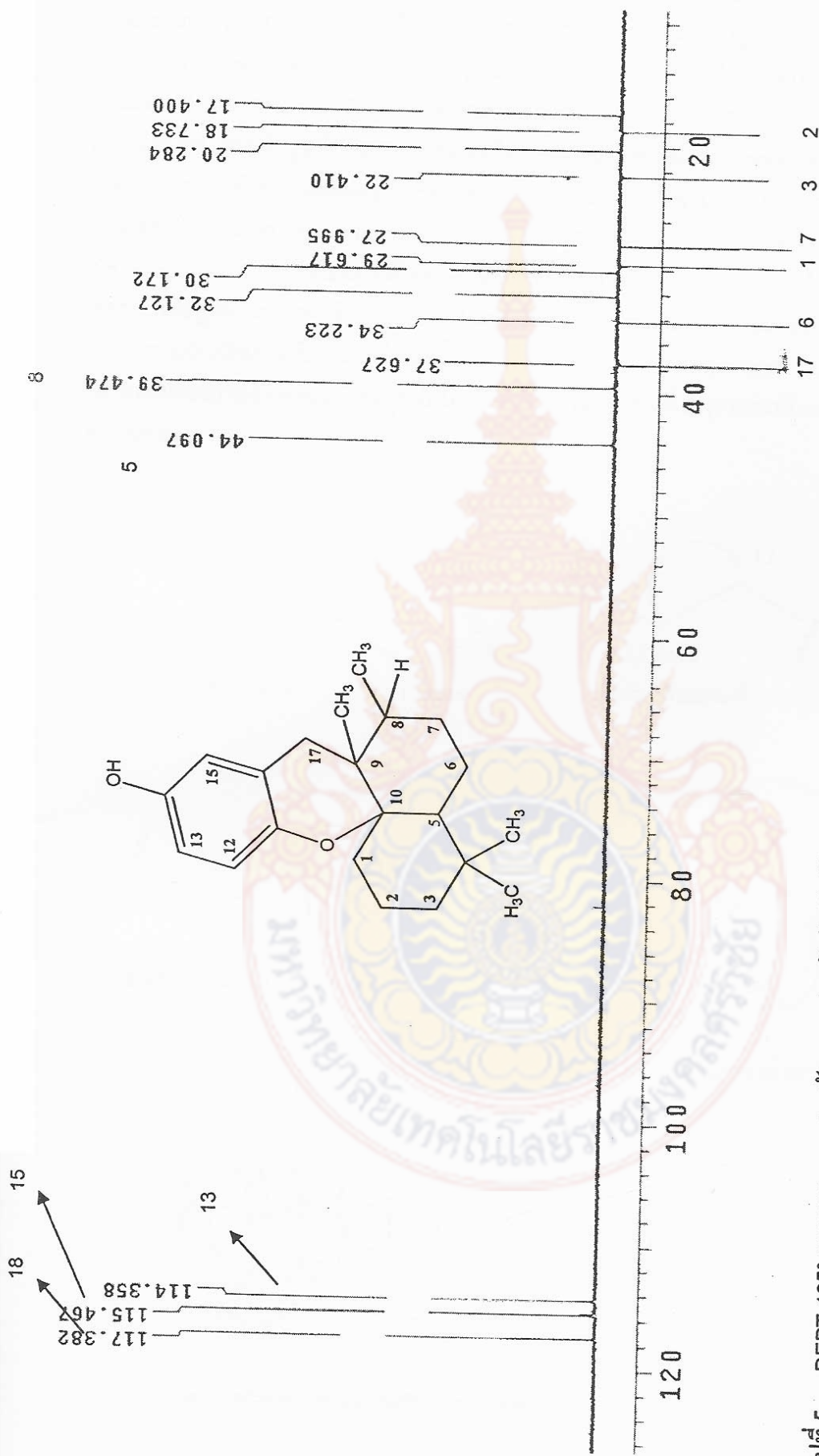


รูปที่ 3 ปริมาณเนื้อเคมีอาร์ ($^1\text{H-NMR}$) ของสาร labreol

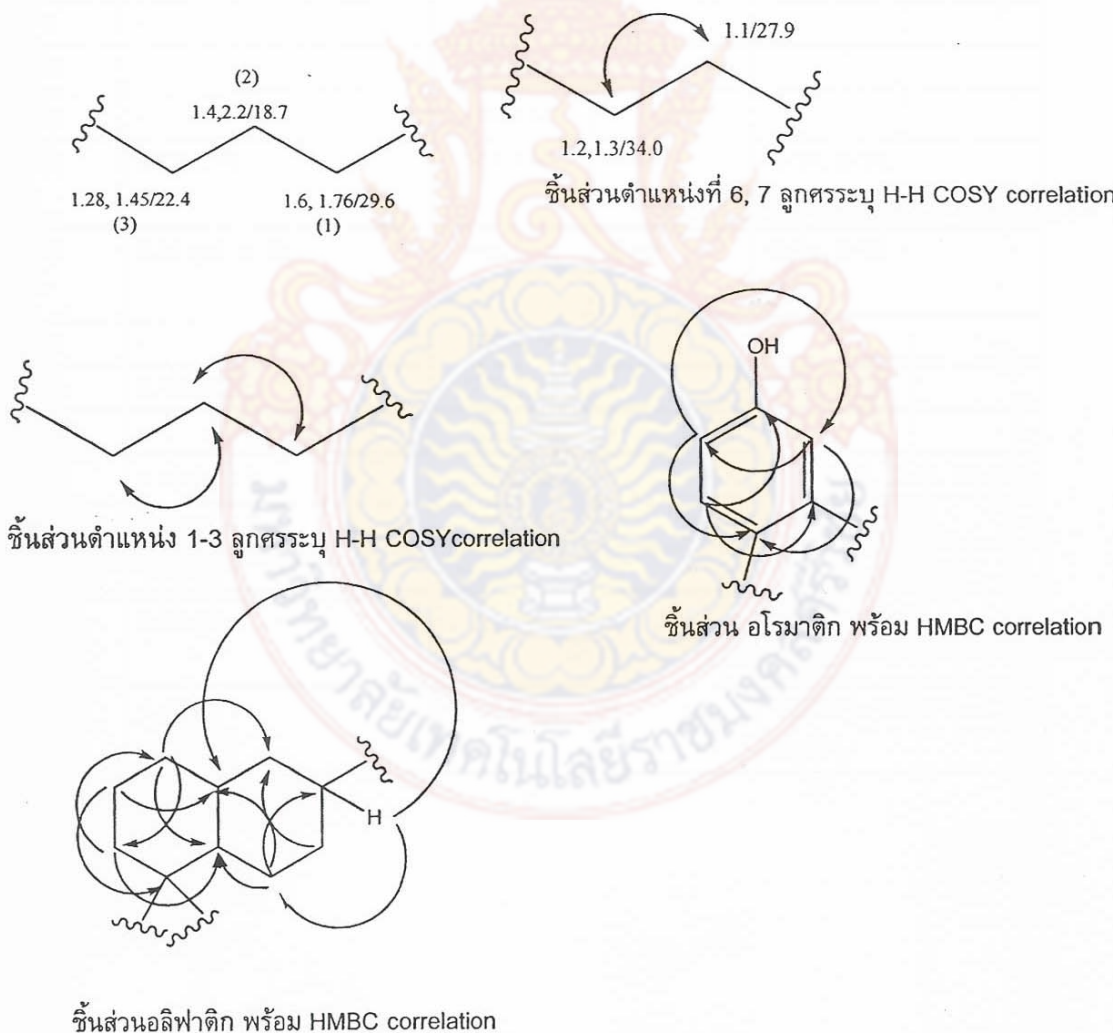


รูปที่ 4 ตารางน้ำหนักน้ำอ่อนมายาร์ ($^{13}\text{C-NMR}$) ของสาร aureole

รูปที่ 5 DEPT 135° ของสาร aureole (ตัวเรขาคณิตรั้งสัมพันธ์กับตัวเรขาคณิตของต่อ模式การบูนในเมล็ด)



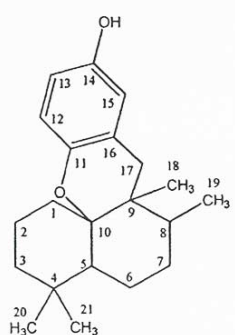
ผลการวิเคราะห์ข้อมูล 2D-NMR ได้แก่เทคนิค ^1H -detected Heteronuclear Multiple Quantum Coherence (HMQC, รูปผนวกที่ 1) ทำให้เราสามารถกำหนดการเข้าคู่กันของสารบอนและโปรดอนได้ (ตารางที่ 2) เทคนิค Correlation Spectroscopy (COSY, รูปผนวกที่ 2) ทำให้เราสามารถวิเคราะห์ชิ้นส่วนโมเลกุลที่เป็นลักษณะ $\text{CH}_2\text{CH}_2\text{CH}_2$ และ CH_2CH_2 ได้ สำหรับชิ้นส่วนอะโรมาติกพิจารณาจากรูปแบบของ $^1\text{H-NMR}$ Spectrum ค่าเคมีคัลชีฟ จากข้อมูล $^1\text{H-NMR}$ โปรดอนที่ค่าเคมีคัลชีฟเท่ากับ 6.32 ppm (dd), 6.7 (d), 6.4 ppm (brd) โดยมีค่าคงที่ของการเข้าคู่ (Coupling constants, J) เท่ากับ (5, 10) (10), (5) ตามลำดับ ซึ่งเป็นความสัมพันธ์ในลักษณะ ortho-ortho และ ortho-meta ทำให้สามารถหาชิ้นส่วน 1, 2, 4- trisubstitution ได้ สารบอนที่ค่าเคมีคัลชีฟ 149 คือ อะตอมสารบอนที่มีไฮดรอกซีฟังก์ชั่นมากage ส่วน 145 คือสารบอนเชื่อมต่อกับออกซีเจน เมื่อวิเคราะห์ข้อมูลความสัมพันธ์ระหว่างกัน (^1H -detected Heteronuclear Multiple Bond Coherence, HMBC) ทั้งหมดทำให้ทราบว่าผลิตภัณฑ์ธรรมชาติดินนี้เป็น Sesquiterpene hydroquinone ชื่อ Aureol ซึ่งสรุปค่าเคมีคัลชีฟทั้งโปรดอนและสารบอนพร้อมกับข้อมูลแบบ 2D-NMR ไว้ในตารางที่ 2 (รายละเอียด spectrum การกำหนดตำแหน่ง ดูจากภาคผนวก)



รูปที่ 6 การประกอบชิ้นส่วนต่างๆให้เป็นโมเลกุลโดยเทคนิค 2D-NMR

ตารางที่ 1 สรุปค่าเคมีคลอสชีฟ (δ) ของสาร aureole

Position	$^1\text{H-NMR}$ (multiplicity, J in Hz)	$^{13}\text{C-NMR}$	COSY	HMBC
1	1.60, 1.76 (td, 4.5, 4.5 4.5, 13.5, 13.5)	29.6 (t)	H-2	C-2, C-3, C-5, C-10
2	1.42, (m), 2.2 (ttt, 4, 13, 4, 13, 4, 13, 4, 13)	18.7 (t)	H-1, H-3	C-4, C-10
3	1.28, (brd, 13) 1.45 (m)	22.4 (t)	H-2	C-1, C-5
4	-	34.2 (s)	-	
5	-	44.1 (s)	-	
6	1.20 (brd, 13.0), 1.30 (m)	34.0 (t)	H-7	C-5, C-8, C-10
7	1.10 (m)	27.9 (d)	H-6	C-9, 19-CH ₃
8	1.34 (s)	39.5 (d)	-	C-6, C-10
9	-	38.2 (s)	-	
10	-	82.1 (s)	-	
11	-	145.8 (s)	-	
12	6.71(d, 9)	117.4 (d)	H-13	C-11, C-14, C-16,
13	6.32 (dd, 9, 3)	114.3 (d)	H-12	C-11, C-14, C-15
14	-	149.4 (s)	-	
15	6.40 (d, 3)	115.5 (d)	-	C-11, C-13
16	-	122.1 (s)	-	
17	3.19 (s, 17)	37.6 (d)	-	C-8, C-15, C-16, 18-CH ₃
18-CH ₃	0.86 (d, 17)	20.3 (q)	-	C-9, C-10, C-17
19-CH ₃	1.23 (s)	30.2 (q)	-	C-6, C-7, C-8, C-9
20-CH ₃	0.72 (s)	32.1 (q)	-	C-3, C-4, C-5, 21-CH ₃
21-CH ₃	1.42 (s)	17.4 (q)	-	C-3, C-4, C-5, 20-CH ₃



สาร aureol ถูกแยกได้จากฟองน้ำหล่ายชนิด โดยเฉพาะสกุล *Dysidea* เช่น *D. cinerea*, *D. avara*, (Hirsh et al., Crispino et al., 1989; Minale, et al., 1974) ส่วนฟองน้ำชนิดอื่นได้แก่ *Dactylospongia elegans* และ *Smenospongia* sp. (Mitome et al., 2002; Kondracki and Guoyot, 2004) จากการศึกษาการจำแนกอย่างคร่าวๆโดยใช้คุณมือ Systema porfer (2002) พบว่าฟองน้ำที่ใช้ศึกษาในครั้งนี้น่าจะอยู่ในสกุล *Smenospongia*

จากการศึกษาสาร aureol ของนักวิทยาศาสตร์หลายท่าน ทั้งการแยกสารจากฟองน้ำโดยตรงและการสังเคราะห์เช่น Shen et al., (2006); Nakatani et al., (2003); Hu et al., (2002); Tasdemir et al., (2002); Nakamura et al., (2002); Urban et al., (1994); Wright et al., (1991); Guella et al., (1988); Djura et al., (1980) จนเป็นที่ทราบแพร่หลายว่าสาร aureol มีคุณสมบัติทางชีวภาพที่สำคัญหล่ายประการได้แก่ ด้านการเจริญของเชื้อไวรัส เช่น เชื้อไข้หวัดใหญ่ PR8 influenza ($EC_{50} = 0.0063 \mu\text{g}/200 \mu\text{l}$), ยับยั้งการเจริญของเซลล์มะเร็ง เช่น P338 ($IC_{50} = 9 \mu\text{g}/\text{ml}$), เซลล์มะเร็งปอด A549 ($IC_{50} = 4.3 \mu\text{g}/\text{ml}$) (Nakatani et al., 2003) ซึ่งเป็นการทดสอบทางห้องปฏิบัติการ ต่อมามีการทดสอบด้านคลินิกพบว่าสามารถลดการลุกลามของเชื้อไวรัสและมะเร็งเม็ดเลือดขาว (Leukemia) ได้ จึงมีการจดทะเบียนลิขสิทธิ์การใช้ประโยชน์จากผลิตภัณฑ์ธรรมชาติกลุ่มนี้ได้แก่ลิขสิทธิ์เลขที่ U.S. Pat. 609931 และ U.S. Pat. 47,377,510 (PatentStorm, 1993)

จากการศึกษาครั้งนี้ควรมีการศึกษาต่อเนื่องในการหาปริมาณการสร้างสารตามฤดูกาลและศึกษาหาวิธีการเพาะเลี้ยงฟองน้ำชนิดนี้เพื่อใช้เป็นแหล่งสารเคมีชีวภาพต่อไป



ເອກສາຣ໌ອ້າງອີງ

Blunt J.W., Copp, B. R., Muro, M. H. G., Northcote, P. T., and Prinsep, M. R. 2003: Marine natural products., *Nat. Prod. Rep.*, 20 : 1-48.

Crispino, A, Giulio A.D., Rosa, D.S., and Strazzullo, G., 1989, A new bioactive derivative of avarol from the marine sponge *Dysidea avara*, *J. Nat. Prod.* 52(3):646-648

Feng J., Keilly, M., Hamann, M.T., 2002, 26-Nor-25-isopropyl-ergosta-5,7,22E-trien-3 β : a C₂₉ sterol from the sponge Agelas sceptrum from Jamaica, *Steroids* 67 (9): 743-747.

Giner J.L., Gunasekera,, S.P., Pomponi, S.A., Sterols of the marine sponge *Petrosia weinbergi*; Implication for the absolute configurations of the antiviral orthoesterols and weinbersterols, *Steroids* 64 (12);820-824

Guella G., Mancini I., Zibrowirus H., and Petietra F., 1988; Novel Aplysinopsin-Type Alkaloids from Scleractinian Corals of the Family Dendrophylliidae of the Mediterranean and the Philippines. Configurational-assignment criteria, stereospecific synthesis, and photoisomerization, *Helv.Chim.Acta.* 71: 773-781.

Hirsch S., Rudi A., and Kashman Y., New avarone and derivative from the marine sponge *Dysidea cinera* *J. Nat. Prod.* 54(1); 92-97

Kondracki, M.L., Guyot, M., 2004, Biologically active quinine and hydroquinone sesquiterpenoids from the sponge *Semenospongia* sp. *Tetrahedron* 45(7): 1995-2000

Minale L.,Riccio, H., and Sodano, G., 1974, Avarol, A novel sesquiterpenoid hydroquinone with a rearrage drimane skeleton from sponge, *Dysidea avara*, *Tet. Lett.* 38:3401-3404

Mitome H., Nagasawa , T.,Miyaoka H., Yamada, Y., Van Soest, R.W.M., 2002, Dactyloquinone C, D and E novel sesquiterpenoid quinines, from the Okinawan marine sponge, *Dactylospongia elegant*, *Tetrahedron*, 58: 1693-1696

Munro, H.M.G. et al, 1999: The discovery and development of marine compounds with

Pharmaceutical potential, **J. Biotech.** 70: 15 – 25

Nakamura M., Suzuki A., Nakatani M., Fuchikami T., Inoue M., Katoh T., 2002, An efficient synthesis

of (+)-aureol via boron trifluoride ethetherate-promoted rearrangement of (+)-aurenarol,

Tet. Lett. 39 (43): 6929-6932.

Nakatani M., Nakamura M., Suzuki A., Fuchikami T., Inoue M., and Katoh T., 2003, Enantioselective total

synthesis of (+)-aureol via a $\text{BF}_3\text{-Et}_2\text{O}$ -promoted rearrangemant/cyclization reaction of (+)

aureole, **ARKIVOC.** 8: 45-57

PatentStorm, 1993, US Patent 5204367-Novel antiviral and anti-leukemia terpene hydroquinones and

method of use. **US Patent** 20: 1-19

Paul, V.J. and Pauglisi, 2004 : Chemical mediations among marine organisms, **Nat. Prod. Rep.**,

21: 189 – 209.

Pedpradab, S., Edrada, R.A., Ebel, R., Wray, V. and Proksch, P. 2004: New β -carboline alkaloids from the

Andaman Sea sponge *Dragmacidon* sp. **J. Nat. Prod.** 67 : 2113 - 2119

Shen Y.C., Liaw C.C., Ho J.R., Khalil A.T. and Kuo Y.H., 2006, Novel antiviral and antitumor terpene

hydroquinones and method of use, **Nat. Prod. Res.**, 20(6): 578-585.

Suwanborirux, K., 1996 : Thai marine organisms - challenging source of bioactive compounds : in current

advances in natural products research, the third NRCT-JSPS joint seminar 27-29 November

1996, Faulty of Pharmaceutical Sciences, Chulalongkorn University, Thailand : 24 -32

Tasdemir D., Bugni T., Mangalindan C.C., Concepcion, Harper M.K., Ireland, C.M., 2002, Cytotoxic

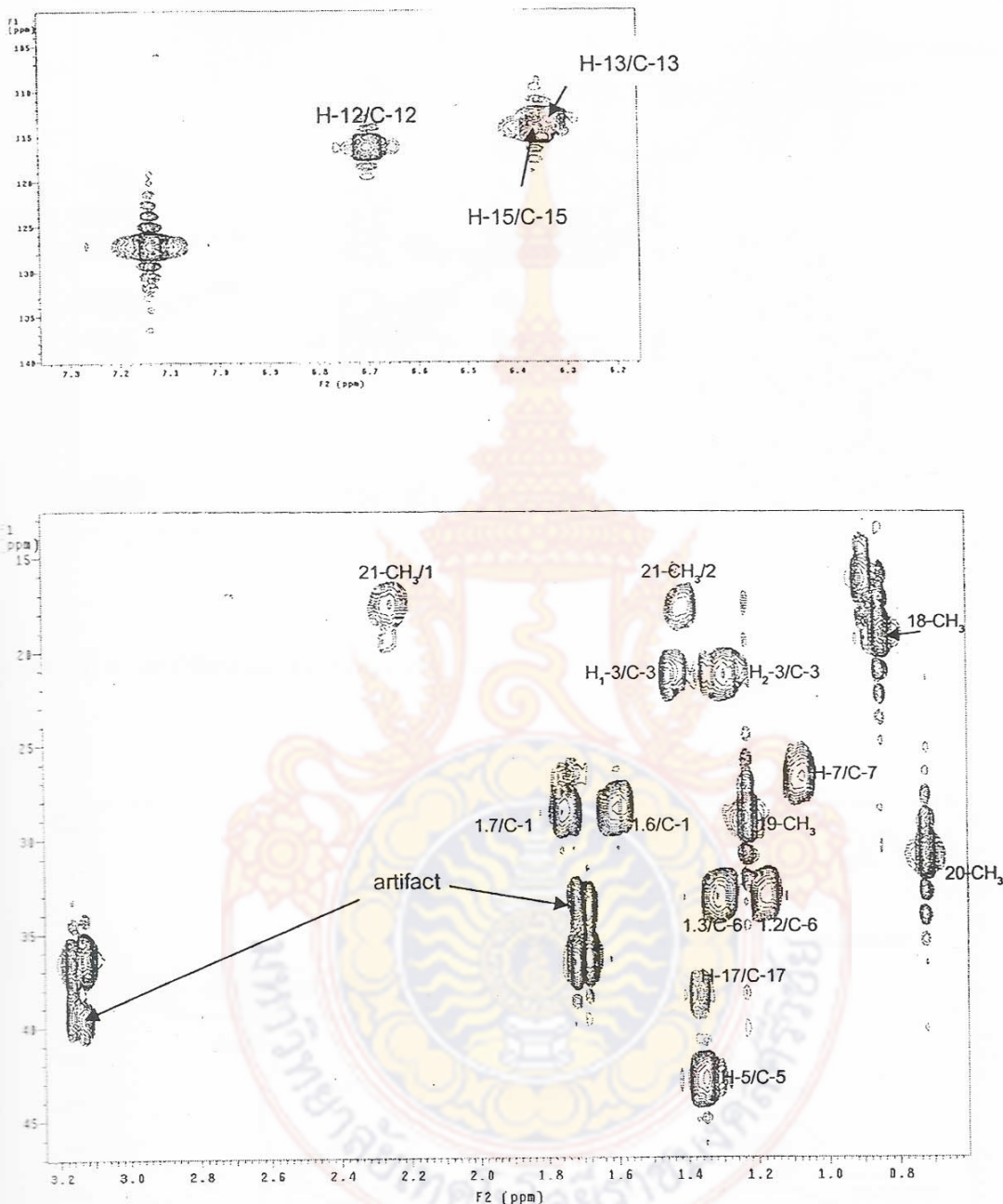
bromoindole derivative and terpenes from the Philippine marine sponge *Smenospongia* sp.,

Verlag der Zeitschrift für Naturforschung, Tübingen: 914-921.

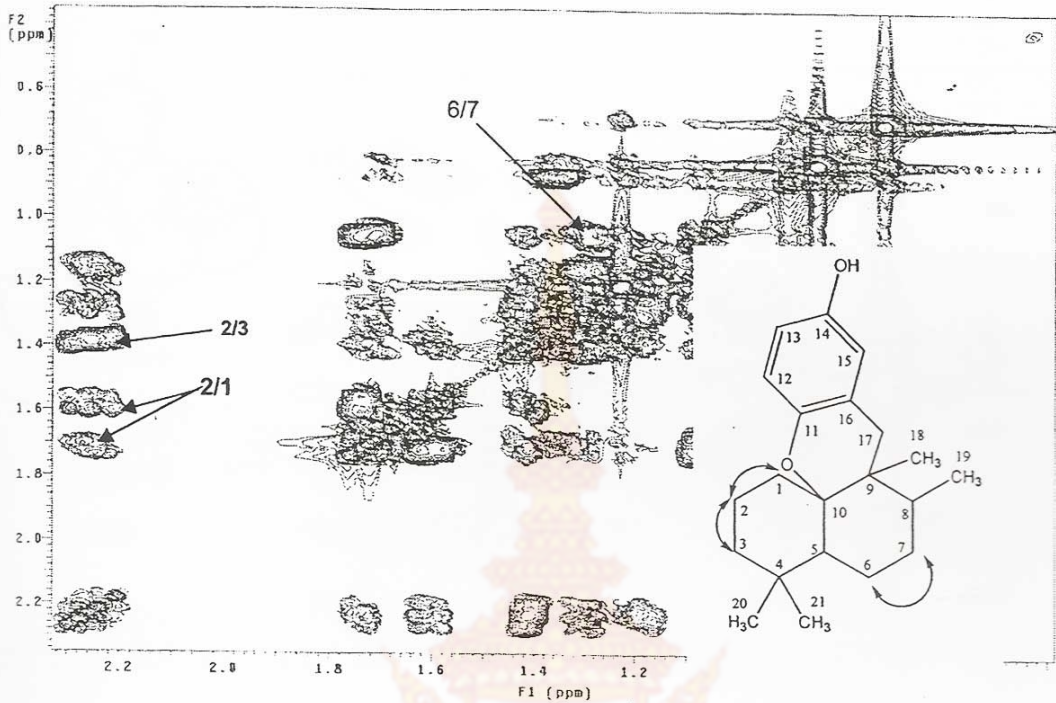
Urban S., and Capon J., 1994, Marine Sesquiterpene Quinones and Hydroquinones: Acid-Catalyzed

Rearrangements and Stereochemical Investigations, **Aust. J. Chem.** 47(6):1023-1029.

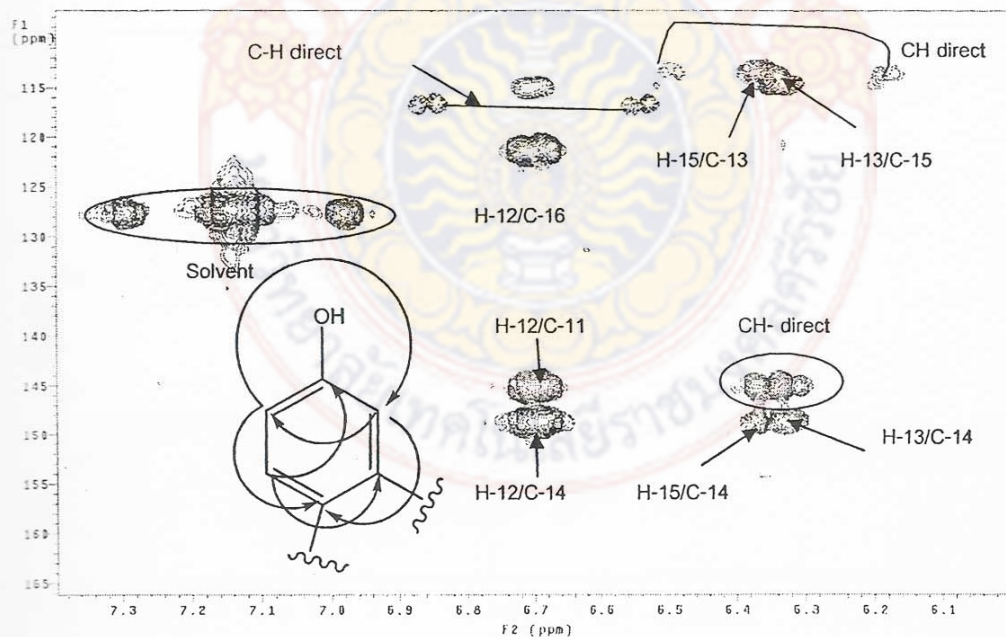




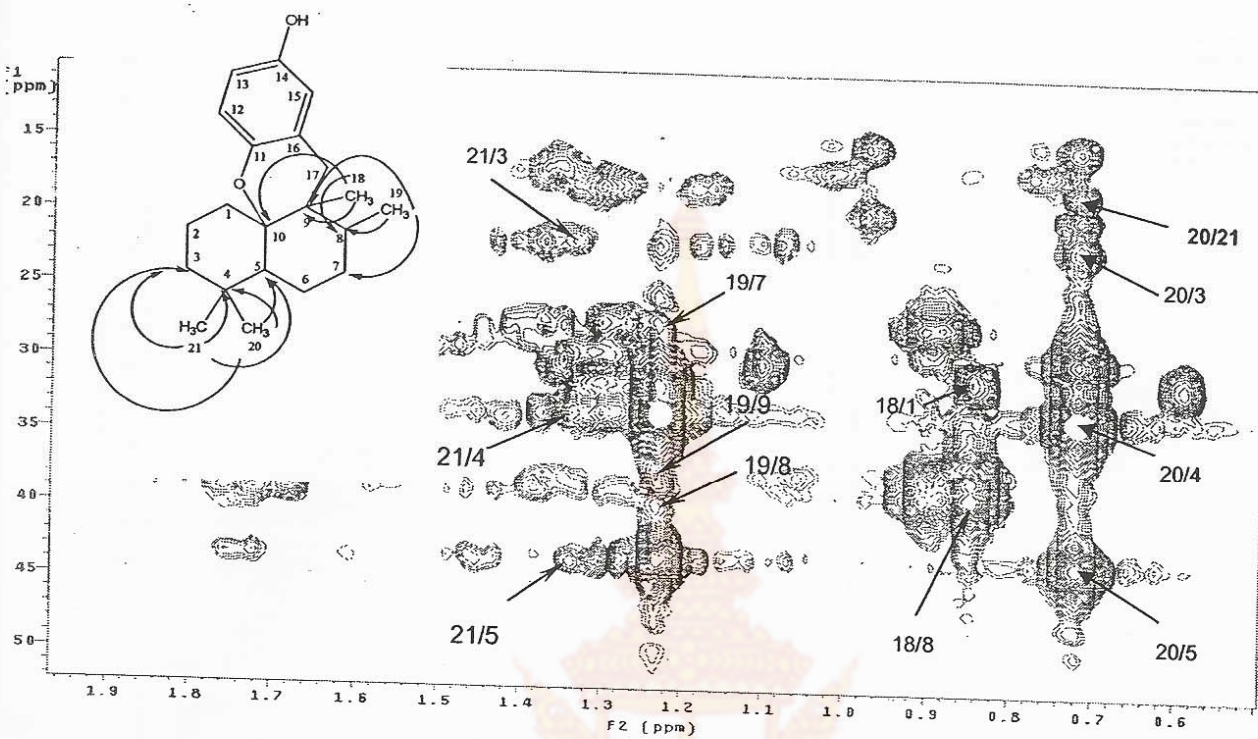
รูปที่ 1 ตัวอย่างการกำหนดการเข้าคู่กันของ C-H อะตอมภายในโมเลกุล (HMQC spectrum)



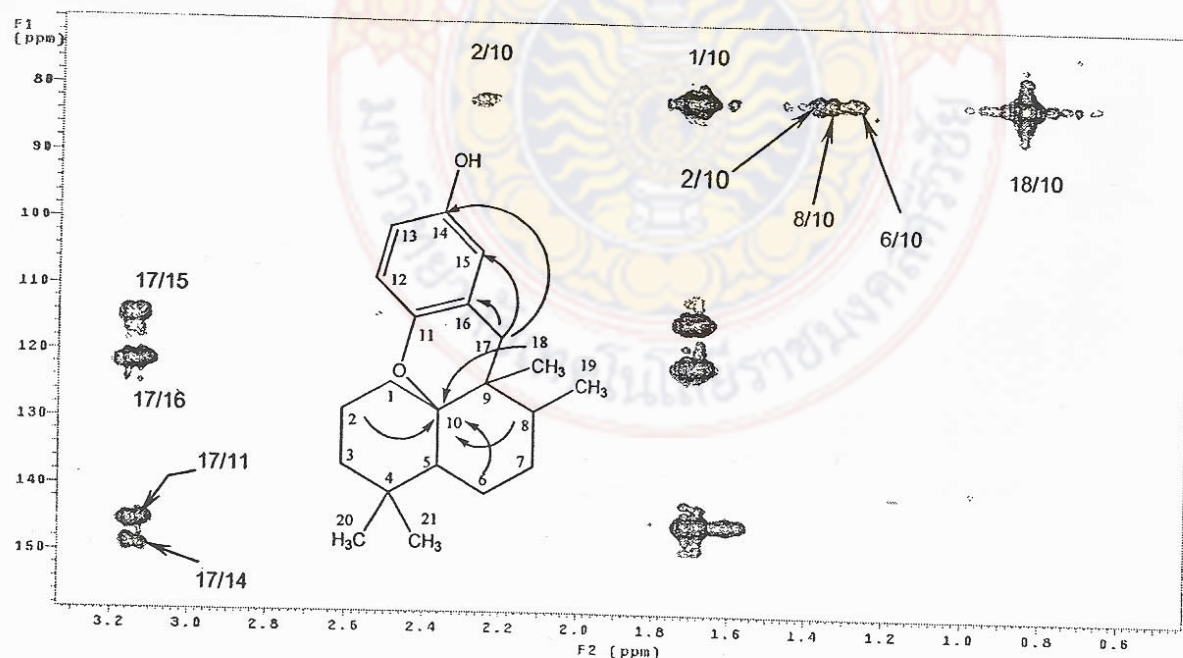
รูปหัวใจที่ 2 การใช้เทคนิค H-H COSY เชื่อมต่อตำแหน่ง 1-3 และ 6,7



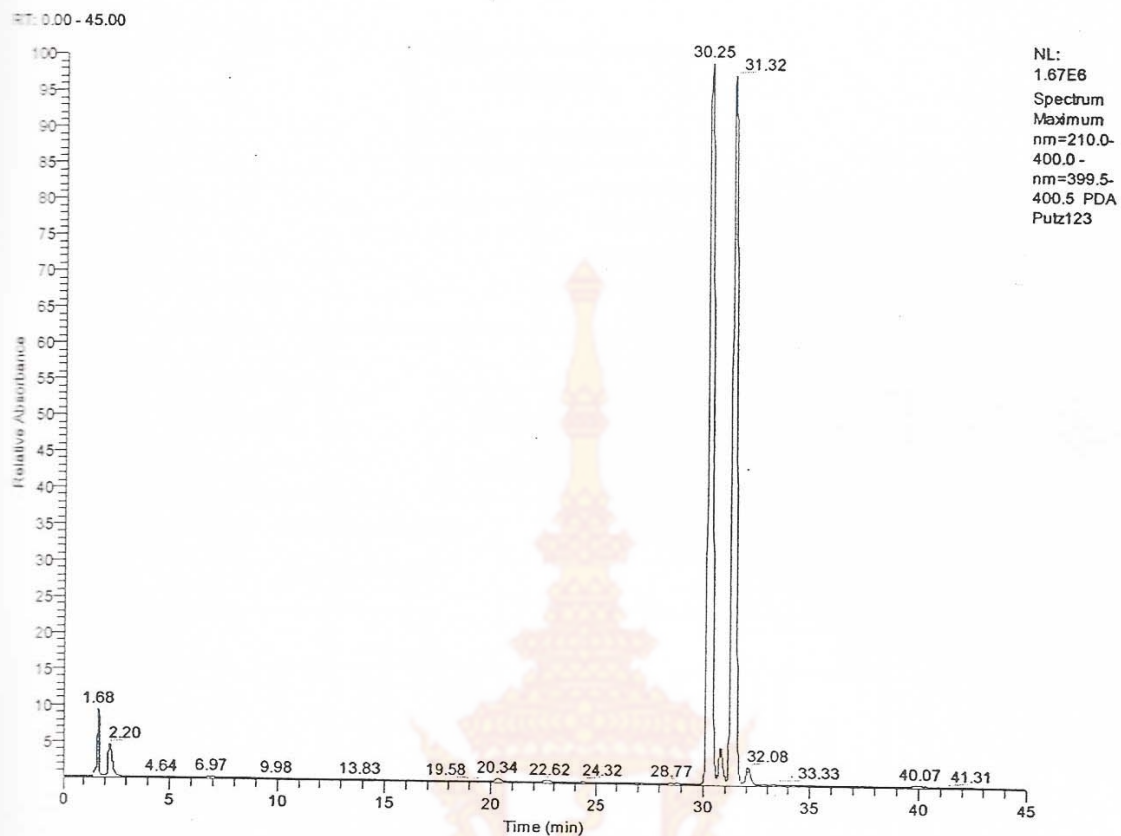
รูปหัวใจที่ 3 HMBC correlation ของวงแหวนอะโรมาติก



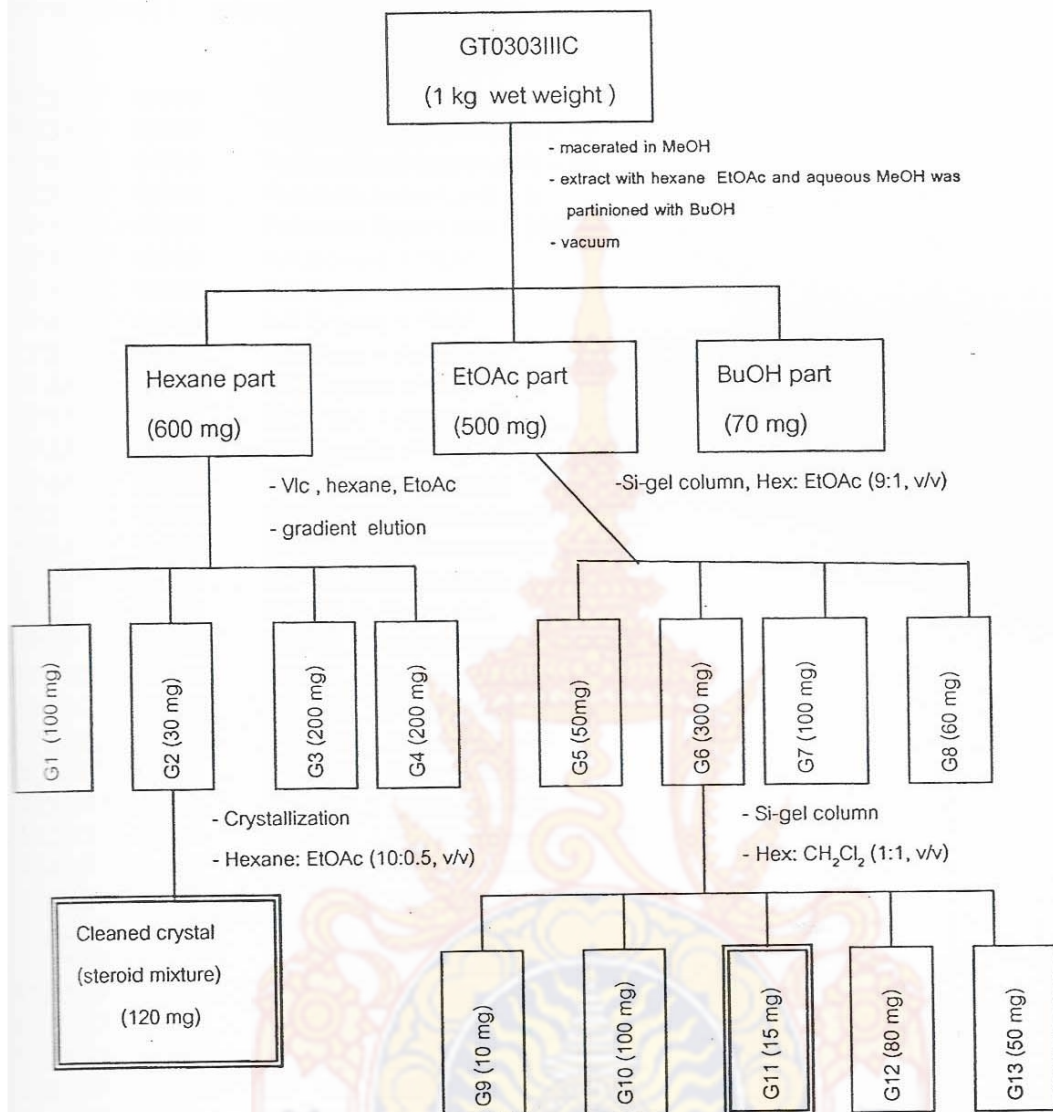
รูปผนวกที่ 4 การก้าหนดตัวแหน่งเมทิลฟังก์ชัน (-CH₃)



รูปผนวกที่ 5 การเชื่อมต่อระหว่างชิ้นส่วนอะลิฟติกและอะโรมาติกรวมทั้ง key correlation ที่ใช้ก้าหนดตัวแหน่ง C-10



รูปหัวที่ 6 HPLC chromatogram ของสิ่งสกัดในชันເວທີລະອະເມືດ



■ หมายเหตุที่ 1 ขั้นตอนการสกัดแยกสารออกฤทธิ์

ตารางผนวกที่ 1 設定เครื่อง HPLC

```

17:33:27 0.000 Temperature.Nominal = 20
17:33:27 0.000 Temperature.LowerLimit = 10
17:33:27 0.000 Temperature.UpperLimit = 30
17:33:27 0.000 Pressure.LowerLimit = 5
17:33:27 0.000 Pressure.UpperLimit = 350
17:33:27 0.000 %A.Equate = "%A"
17:33:27 0.000 %A.Type = Automatic
17:33:27 0.000 %B.Equate = "%B"
17:33:27 0.000 %B.Type = Automatic
17:33:27 0.000 %C.Equate = "%C"
17:33:27 0.000 %C.Type = Automatic
17:33:27 0.000 %D.Equate = "%D"
17:33:27 0.000 %D.Type = Automatic
17:33:27 0.000 3DFIELD.MaxWavelength = 595.2
17:33:27 0.000 3DFIELD.MinWavelength = 200.0
17:33:27 0.000 3DFIELD.BunchWidth = 1.9
17:33:27 0.000 3DFIELD.Step = 0.5
17:33:27 0.000 3DFIELD.RefWavelength = 600.0
17:33:27 0.000 3DFIELD.RefBandwidth = 1.9
17:33:27 0.000 UV_VIS_1.Wavelength = 235
17:33:27 0.000 UV_VIS_1.Bandwidth = 1
17:33:27 0.000 UV_VIS_1.Step = Auto
17:33:27 0.000 UV_VIS_1.Average = On
17:33:27 0.000 UV_VIS_1.RefWavelength = 600
17:33:27 0.000 UV_VIS_1.RefBandwidth = 1
17:33:27 0.000 UV_VIS_2.Wavelength = 254
17:33:27 0.000 UV_VIS_2.Bandwidth = 1
17:33:27 0.000 UV_VIS_2.Step = Auto
17:33:27 0.000 UV_VIS_2.Average = On
17:33:27 0.000 UV_VIS_2.RefWavelength = 600
17:33:27 0.000 UV_VIS_2.RefBandwidth = 1
17:33:27 0.000 UV_VIS_3.Wavelength = 280
17:33:27 0.000 UV_VIS_3.Bandwidth = 1
17:33:27 0.000 UV_VIS_3.Step = Auto
17:33:27 0.000 UV_VIS_3.Average = On
17:33:27 0.000 UV_VIS_3.RefWavelength = 600
17:33:27 0.000 UV_VIS_3.RefBandwidth = 1
17:33:27 0.000 UV_VIS_4.Wavelength = 340
17:33:27 0.000 UV_VIS_4.Bandwidth = 1
17:33:27 0.000 UV_VIS_4.Step = Auto
17:33:27 0.000 UV_VIS_4.Average = On
17:33:27 0.000 UV_VIS_4.RefWavelength = 600
17:33:27 0.000 UV_VIS_4.RefBandwidth = 1
17:33:27 0.000 UV.Autozero

```

ตารางผนวกที่ 1 (ต่อ)

```

17:33:27 0.000 Flow = 1.000
17:33:27 0.000 %B = 10.0
17:33:27 0.000 %C = 0.0
17:33:27 0.000 %D = 0.0
17:33:27 0.000 Wait Ready
17:33:29 0.000 Wait finished
17:33:29 0.000 Inject
17:33:29 0.000 Injecting from vial position RA3.
17:33:29 0.000 Injection Volume is 20.00 ㎕.
17:33:29 0.000 Waiting for inject response on ASI100InjectState.
17:34:06 0.000 Got inject response
17:34:06 0.000 3DFIELD.AcqOn
17:34:06 0.000 UV_VIS_1.AcqOn
17:34:06 0.000 UV_VIS_2.AcqOn
17:34:06 0.000 UV_VIS_3.AcqOn
17:34:06 0.000 UV_VIS_4.AcqOn
17:34:06 0.000 Flow = 1.000
17:34:06 0.000 %B = 10.0
17:34:06 0.000 %C = 0.0
17:34:06 0.000 %D = 0.0
17:34:06 0.000 %B Gradient Start = 10.0, End = 100.0, Duration =
17:39:06 5.000 30.000
18:09:06 35.000 %B = 100.0
18:19:06 45.000 %B Gradient Start = 100.0, End = 10.0, Duration =
18:24:06 50.000 5.000
18:34:06 60.000 %B = 10.0
18:34:06 60.000 3DFIELD.AcqOff
18:34:06 60.000 UV_VIS_1.AcqOff
18:34:06 60.000 UV_VIS_2.AcqOff
18:34:06 60.000 UV_VIS_3.AcqOff
18:34:06 60.000 UV_VIS_4.AcqOff
18:34:06 60.000 Flow = 1.000
18:34:06 60.000 %B = 10.0
18:34:06 60.000 %C = 0.0
18:34:06 60.000 %D = 0.0

```

รายละเอียดสภาวะเครื่อง GCMS

- Inlet temperature: 250°C, Helium carrier flow 1.0 ml/min
- Oven initial temperature 230°C for 1 minute
- Ramp to 325°C for 10 minute at 10°C/minute
- Column: Rtx-5MS, 30 meters length, film thickness 0.25 μm, ID 0.25 mm
- Mass spectrometer: EI mode
 - Acquisition mode: Scan 35-500 amu
 - Solvent delay time: 3.0 minute
 - Transfer line temperature: 325 °C

ตารางผังหัวที่ 2 บันทึกการเก็บตัวอย่างของห้องทดลองทางศาสนาม

Sample No.	Location	Depth[m]	Abundance	Habitat	Secretion	Colour (inner-outer)	Texture	Frozen material
GT-02-28I A	MUK	3	rare	On rocks and bivalves	No	Purple-beige	Rough, strong spicules	medium
GT-02-28I B	MUK	3-5	abundant	On rocks, sand	No	Transparent-blue	Smooth	medium
GT-02-28II A	MUK	3-5	abundant	Sand	No	Orange-orange	Smooth	medium
GT-02-28II B	MUK	1-2	abundant	Rocks, encrusting blue	No	Brilliant blue-light blue	Smooth	All extracted
GT-02-28III C	MUK	6	abundant	Rocks, encrusting	Little	Beige-geige	Strong fibres	medium
GT-02-28III D	MUK	6	abundant	Rocks, encrusting	Little	Pale grey-white	Rough, strong spicules	medium
GT-02-28III A	MUK	1.2	abundant	Sand	No	Green		All extracted
GT-03-01II A	Laoliang	5.5	abundant	rocks	No	Brown/black	sticky	All extracted
GT-03-01II B	Laoliang	6	rare	Rocks and on soft coral	No	Blue-light blue	smooth	medium
GT-03-01I A	Laoliang	7	medium	Rocks, encrusting	No	Brown-beige	Rough	All extracted
GT-03-01II B	Laoliang	4.3	rare	Rocks	No	Purple-beige	Rough	medium
GT-03-01II C	Laoliang	1/5	rare	Encrusting on rock, on sand (party cover)	No	Brilliant red-red	Rough	medium
GT-03-01II D	Laoliang	2	rare	Rocks, encrusting	No	Brown/yellow-beige	smooth	All extracted
GT-03-01II E	Laoliang	1	rare	Rocks, encrusting	No	Blue-blue	smooth	All extracted

ឧបរាយដៃអាមេរិក 2 (ទី២)

GT-03-01IIF	Laoliang	3-4	medium	Rock, between corals	Yes	Green-green	Smooth; finger-like	medium
GT-03-02IA	Laoliang	10	medium	Rock, covered with sediment	No	Orange-orange	smooth	Big amount
GT-03-02IB	Laoliang	10	medium	Sand	Yes	Plink-plink	Tubes above sediment, remaining part covered	Big amount
GT-03-02IC	Laoliang	10	rare	On rock and bivalves	No	Black/brown-beige	Smooth	Big amount
GT-03-02 ID	Laoliang	10	medium	overgrows corals	No	Beige-beige	Many spicules, fragile	Big amount
GT-03-02IE	Laoliang	1.5	abundant	on sand, dead coral	No	Green/brown with white stripes	Hard tissue	All extracted
GT-03-02IF	Laoliang	1.5	abundant	Sand	No	Green	Soft and fragile	All extracted
GT-03-02IA	Laoliang	3	rare	Buried in sand	No	Plink-plink	Finger-like structure out of sediment, remaining part buried	Extremely little, All
GT-03-02IIA	Laoliang	2-3	abundant	Encrusting, on rock and barnacles	No	Violet-violet	Smooth	All extracted
GT-03-02IIB	Laoliang	2-3	abundant	Rocks, encrusting	No	White-white	Smooth	Extremely little, All
GT-03-02IIC	Laoliang	7	rare	On rocks and bivalves, encrusting	No	Brown/purple-beige	Smooth	All extracted
GT-03-02 IID	Laoliang	9	rare	Rocks	No	Beige/pink-beige	Rough, fragile	Little remainder

ຕາງຮັງຜະວາກີ 2 (ຕົກ)

GT-03-02 III E	Laoiang	5	medium	Rocks	No	Green/white/pink-white	Smooth	medium
GT-03-02 IV A	Laoiang	1.5	medium	Rocks, encrusting	No	Violet-beige	Smooth	Extremely little, All
GT-03-02 IV B	Laoiang	2	medium	Rocks, encrusting	No	Red/yellow	Smooth	Extremely little,
GT-03-02 IV C	Laoiang	2	medium	Rocks, encrusting	No	Green/red/brown-green/yellow	Rough	All extracted
GT-03-02 IV D	Laoiang	3-4	abundant	Rocks, encrusting	No	Black/brown-black/brown	Smooth	Little remainder
GT-03-02 IV E	Laoiang	2	abundant	Rocks, encrusting	No	Yellow/green-beige	Smooth	All extracted
GT-03-03 IA	Laoiang	4	rare	Rock, shadow	No	White-white	fragile	medium
GT-03-03 IB	Laoiang	2-4	medium	Rocks, encrusting	No	Yellow/brown-beige	Smooth	medium
GT-03-03 IA	Laoiang	2-4	abundant	Rocks, sand	No	Yellow/brown-yellow	Round like a ball, covered by sediment	medium
GT-03-03 IB	Laoiang	3-5	abundant	Rocks, encrusting, covered by sediment	Extreme	Yellow/orange-orange	Rough	Big amount
GT-03-03 IC	Laoiang	5.3	abundant	Rocks, encrusting	No	Brown-beige	Rough, sticky	Big amount
GT-03-03 ID	Laoiang	5	rare	Rock	No	Black/brown-beige	Smooth	All extracted
GT-03-03 IE	Laoiang	4.3	rare	Rock	No	Brown/red-beige	Rough	All extracted
GT-03-03 IF	Laoiang	4	rare	rock	No	Purple/violet-purple/violet	soft	All extracted